

اندازه‌گیری غلظت هیدروکربن‌های آروماتیک چند حلقه‌ای در هوای آزاد مناطق پرترافیک اصفهان

مهدیه دیان^۱, یعقوب حاجی‌زاده^۲, محسن سعدانی^۳

مقاله پژوهشی

چکیده

مقدمه: هیدروکربن‌های آروماتیک چند حلقه‌ای (PAHs) ترکیباتی هستند که به طور عمده از احتراق ناقص سوختهای فسیلی حاصل می‌شوند. این ترکیبات به دلیل پایداری، تجمع زیستی و اثرات سرطان‌زاوی و جهش‌زاوی، یکی از نگرانی‌های جوامع به شمار می‌روند. در مطالعه حاضر، غلظت PAHs در هوای تنفسی مناطق پرترافیک اصفهان در فصول تابستان و پاییز سال ۱۳۹۵ بررسی گردید.

روش‌ها: نمونه‌برداری از هوای روش منفعل و با استفاده از فیبرهای جاذب سرنگی (SPME) انجام گرفت. جاذب‌ها در محفظه‌های نمونه‌برداری در مسیرهای پرتردد به مدت ۲۴ ساعت نصب شد و پس از نمونه‌برداری، PAHs جذب شده در فاز جامد به طور مستقیم با دستگاه کروماتوگرافی گازی متصل به دستکار اسپکترومتر چرمی سه‌گانه (GC/TQ-MS) Gas Chromatography/Triple quadrupole-mass spectrometer طبق روش‌های استاندارد تجزیه و تحلیل گردید.

یافته‌ها: حد اکثر میانگین Σ PAHs به میدان آزادی با غلظت 40.6 ± 8.3 نانوگرم در مترمکعب در فصل پاییز و حداقل میانگین نیز به 1.82 ± 0.28 نانوگرم در مترمکعب در فصل تابستان اختصاص داشت. غلظت PAHs از سایر Acenaphthylene شناصایی شد. میانگین غلظت PAHs در فصل پاییز بیشتر از فصل تابستان به دست آمد.

نتیجه‌گیری: مواجهه با PAHs از طریق هوای در تمام ایستگاه‌ها به ویژه در مکان‌های پرترافیک، بالاتر از حدود اعلام شده توسط Occupational Safety and Health Administration (OSHA) و National Institute for Occupational Safety and Health (NIOSH)، American Conference of Governmental Industrial Hygienists (ACGIH) است که می‌تواند ناشی از تراویک سرنگین و تردد بیش از حد خودروها و همچنین، شرایط توپوگرافی ویژه شهر باشد. بنابراین، کنترل تراویک و کنترل انتشار آلاینده‌ها از خودروها، تأثیر زیادی در کاهش میزان PAHs دارد.

واژه‌های کلیدی: هیدروکربن‌های آروماتیک چند حلقه‌ای، هوای آزاد تنفسی، پرترافیک، نمونه‌برداری منفعل

ارجاع: دیان مهدیه، حاجی‌زاده یعقوب، سعدانی محسن. اندازه‌گیری غلظت هیدروکربن‌های آروماتیک چند حلقه‌ای در هوای آزاد مناطق پرترافیک اصفهان. مجله تحقیقات نظام سلامت (۱۳۹۷: ۱۴: ۱۲۲-۱۱۴)

تاریخ چاپ: ۱۳۹۷/۱/۱۵

پذیرش مقاله: ۱۳۹۶/۶/۱۵

دریافت مقاله: ۱۳۹۵/۱۲/۱۶

مقدمه

هیدروکربن‌های آروماتیک چند حلقه‌ای (PAHs) یا Polycyclic Aromatic Hydrocarbons (PAHs)، گروه بزرگی از ترکیبات آلی دارای دو تا هفت حلقه بنزنی (۱)، و دسته وسیعی از آلاینده‌های زیست محیطی هستند که از احتراق ناقص سوختهای فسیلی تولید می‌شوند (۲). برخی از PAHs دارای خاصیت سرطان‌زاوی، جهش‌زاوی و ترانزوئنی می‌باشند و خطر جدی برای سلامتی دارند و بدین سبب نگرانی درباره وجود PAHs در هوای آزاد رو به افزایش است (۳).

PAHs هم از منابع طبیعی و هم از منابع انسان ساخت وارد محیط می‌شود. وجود وسیع PAHs ناشی از تولید آن‌ها توسط تمامی انواع فرایندهای احتراق مواد آلی است. منابع انسان ساخت PAHs و مشتقان آن‌ها بسیار متفاوت می‌باشد و شامل احتراق ناقص سوخت، پسماند یا دیگر مواد آلی مانند تنبک و مواد گیاهی است. آتش‌سوزی جنگل‌ها و فوران اتش‌شان‌ها نیز از جمله

منابع طبیعی انتشار PAHs محسوب می‌شود (۴). از میان ۱۶ ترکیب به دلیل تجزیه‌ناپذیری بیولوژیکی سریع توسط میکروآرگانیسم‌ها و در نتیجه، ایجاد سمیت و خطر در محیط زیست، بیشتر مطرح شده‌اند و سازمان حفاظت محیط زیست آمریکا این ترکیبات را به عنوان آلاینده‌های اولویت‌دار طبقه‌بندی کرده است (۲-۵) که این ترکیبات شامل Pyrene، Acenaphthene، Naphthalene، Fluoranthene، Benzo[b]fluoranthene، Fluorene، Phenanthrene، Anthracene، Dibeno[a' h]antheracene، Benzo[a]anthracene، Chrysene، Benzo[ghi]perylene، Benzo[k]fluoranthene، Benzo[a]Pyrene و Indeno[123-cd]pyrene می‌باشد.

PAHs به طور وسیعی در اتمسفر پراکنده است و به عنوان یکی از نخستین آلاینده‌های اتمسفری با احتمال سرطان‌زاوی شناخته می‌شود (۶). با افزایش وزن مولکولی، سرطان‌زاوی PAHs سمیت حاد آن‌ها کاهش

- دانشجویی کارشناسی ارشد، کمیته تحقیقات دانشجویی و گروه مهندسی بهداشت محیط، دانشگاه علوم پزشکی اصفهان، اصفهان، ایران
- دانشیار، مرکز تحقیقات محیط زیست، پژوهشکده پیشگیری از بیماری‌های غیر واگیر و گروه مهندسی بهداشت، دانشگاه علوم پزشکی اصفهان، اصفهان، ایران
- استادیار، گروه مهندسی بهداشت محیط، دانشکده بهداشت، دانشگاه علوم پزشکی شهید بهشتی، تهران، ایران

Email: y_hajizadeh@hlth.mui.ac.ir

نویسنده مسؤول: یعقوب حاجی‌زاده

منطقه ترکیه به ترتیب ۱۰۰/۷، ۸۴/۶ و ۲۵/۱ نانوگرم بر مترمکعب اندازه‌گیری کردند (۲۵). نتایج پژوهش Fang و همکاران نشان داد که مقدار PAHs در اتمسفر در فصل تابستان کمتر است. آن‌ها غلظت زیاد PAHs در فصل سرد سال را به علت افزایش مصرف سوخت‌های فسیلی قابل احتراق و افزایش غلظت PAHs در فاز گازی در دمای پایین دانستند (۲۶). همچنین، تحقیق Bae و همکاران به این نتیجه دست یافت که غلظت PAHs در هوای محیطی در فضول سرد بیشتر از فضول گرم است (۲۷).

اصفهان کلان‌شهری در مرکز فلات ایران و دارای جمعیت بیش از ۵/۵ میلیون نفر است که این جمعیت را در سطحی به مساحت ۱۰۷۰۲۷ کیلومتر مربع در خود جای داده است. ارتفاع اصفهان از سطح دریا، ۱۵۹۰ متر است. شهر اصفهان در جلگه سبز و خرم زاینده‌رود و دامنه‌های زاگرس قرار دارد. کوه‌های آن از شمال غربی به جنوب شرقی امتداد یافته است. بادهای غالب در این شهر از نوع بادهای غربی می‌باشد. کلانشهر اصفهان، دومین شهر پرجمعیت و اولین شهر صنعتی ایران محسوب می‌شود که به عنوان یک کلانشهر، تردد خودروهای فراوانی را در طی روز دارد. پس انتظار می‌رود هوای آن در معرض آلاینده‌های متعددی قرار گیرد. تاکنون مطالعاتی در زمینه سنجش غلظت PAHs در هوای این شهر انجام نشده است. بنابراین، ضروری است تحقیقاتی در زمینه شناسایی، ارزیابی و کنترل چنین آلاینده‌هایی در هوای محیط‌های آزاد با تراکم زیاد جمعیت به عمل آید. هدف از انجام مطالعه حاضر، تعیین غلظت ترکیبات PAHs در مناطق پرtraفیک اصفهان در دو فصل تابستان و پاییز و مقایسه میانگین غلظت آن‌ها در نقاط نمونه‌برداری در طول این دو فصل بود.

روش‌ها

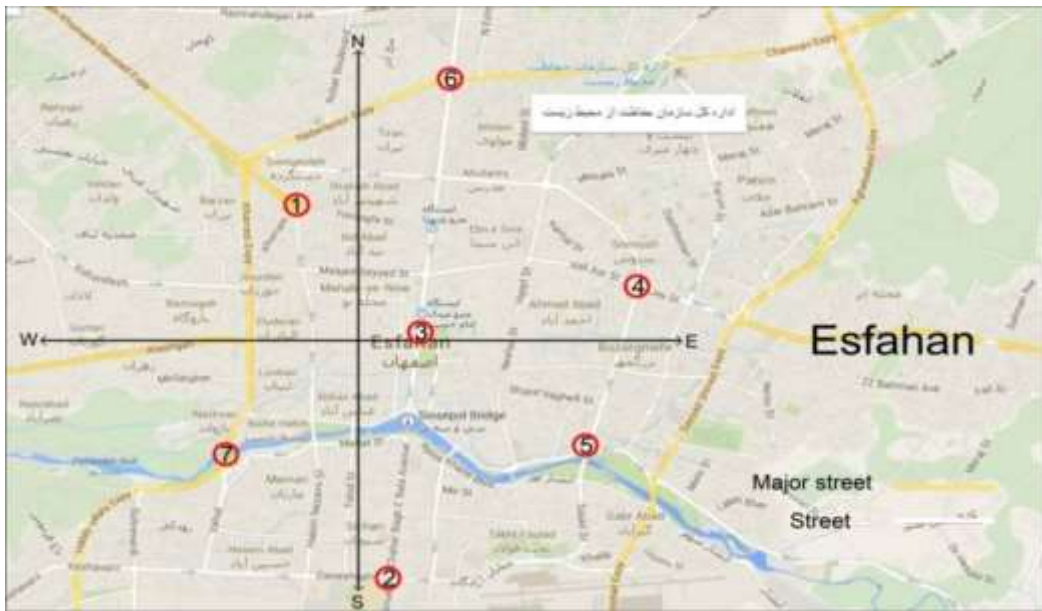
برای انجام این پژوهش، ۷ نقطه نمونه‌برداری که بتواند چهار منطقه جغرافیایی (شمال، جنوب، غرب و شرق) شهر را پوشش دهد، تعیین گردید. این نقاط با در نظر گرفتن شدت ترافیک، تراکم جمعیت، منابع صنعتی آلاینده و جهت باد غالب انتخاب شد. مناطق ترافیکی با مشورت کارشناسان ترافیک شهری شهرداری اصفهان انتخاب گردید. مطالعه حاضر در سال ۱۳۹۵ و در دو فصل تابستان و پاییز انجام گرفت. ۳ نمونه از هر سایت در هر فصل گرفته شد (۶ نمونه از هر ایستگاه در طول شش ماه مطالعه) که در مجموع طی دو فصل ۴۲ نمونه جمع‌آوری گردید. نقشه شهر و نقاط نمونه‌برداری در شکل ۱ نشان داده شده است. نقاط نمونه‌برداری شامل ۱. میدان جمهوری، ۲. میدان آزادی (دوازده شیزار)، ۳. میدان امام حسین (ع)، ۴. میدان احمدآباد، ۵. میدان بزرگمهر، ۶. پل چمران و ۷. پل وحید بود.

برای نمونه‌برداری هوا از فیبر جاذب سرنگی (SPME) از نوع پلی متیل سیل سیگما-آلدریچ (Sigma-Aldrich) پاپیلیمرهای خاصی با قابلیت جذب و واجدب ترکیبات مختلف نازکی می‌باشد که پلیمرهای خاصی با قابلیت جذب و واجدب ترکیبات PAH را از هوا در روی آن قرار دارد. ماده جاذب آتشته شده به فیبر، ترکیبات PAH را از هوا در اثر در معرض قرار گرفتن چند ساعته تا یک روزه جذب می‌کند. سپس فیبر SPME بدون نیاز به استخراج با حلال به طور مستقیم داخل قسمت تزریق (GC) Gas Chromatography برای واجذبی و آنالیز قرار داده می‌شود.

می‌باید، از جمله سلطان‌زاترین PAHs می‌توان به Benzo[a]anthracene و Dibenz[a,h]anthracene Benzo[a]pyrene بنابراین، به واسطه حضور PAHs در اتمسفر و خطرات بهداشتی ناشی از PAHs مواجهه با آن‌ها، این ترکیبات در مطالعه حاضر مورد بررسی قرار گرفت. را می‌توان به دو گروه طبقه‌بندی کرد؛ گروه اول، PAHs با وزن مولکولی کم (Low molecular weight) که شامل PAHs دو و سه حلقه‌ای High molecular weight می‌باشد و گروه دوم، PAHs با وزن مولکولی زیاد (High molecular weight) می‌باشد.

یا (HMW) که شامل PAHs چهار، پنج و شش حلقه‌ای هستند (۲). PAHs خالص اغلب در درجه حرارت محيط به صورت جامدات بلورین و رنگی ظاهر می‌شوند (۹). وسائل نقلیه، یکی از منابع انتشار PAHs می‌باشد و بر اساس مطالعات صورت گرفته، خودروهای پنزینی به طور عمده PAHs با وزن مولکولی زیاد و خودروهای دیزلی PAHs با وزن مولکولی کم را منتشر می‌کنند (۱۰، ۱۱). در هوا با توجه به شرایط اتمسفر مانند درجه حرارت، رطوبت و دیگر عوامل و یا به صورت بخار در فاز گازی و یا به صورت جذب شده روی سطح ذرات وجود دارد (۱۲-۱۴). نوع و شدت تأثیراتی که این مواد بر سلامت انسان دارد، به عوامل متعددی وابسته است که از آن جمله می‌توان به شرایط همچون میزان ورود این مواد به بدن انسان، مدت تماس، سن، جنسیت، وضعیت تغذیه، سلامت شخص و مسیر تماس با این ترکیبات اشاره کرد. تعدادی از PAHs باعث ایجاد تومور در حیوانات شده است که از طریق غذا، تنفس هوای آلوده و یا جذب پوستی، در معرض این مواد قرار گرفته‌اند (۱۳). از بین PAHs، Benzo[a]anthracene و Benzo[a]pyrene نیز سلطان‌زایی ضعیفی دارد (۱۵)، Benzo[b]fluoranthene در گروه B2 قرار می‌گیرد که ترکیبات این گروه امکان سلطان‌زایی برای انسان را دارند (۱۶). اثرات کم‌خوبی نامطلوب، کم‌خوبی آپلاستیک، کاهش غیر طبیعی عناصر سلولی خون، کاهش شدید لکوسیت‌های خونی و تحیلی رفتمن مفتر استخوان بعد از تماس خوارکی با دوزهای بالای آن در حیوانات مشاهده شده است (۱۷، ۱۸). بر اساس گزارش‌های انجمن بین‌المللی سلطان، علاوه بر سلطان‌زایی در حیوانات، یک ترکیب Benzo[a]pyrene انسان هم می‌باشد و در گروه اول ترکیبات سلطان‌زا قرار می‌گیرد (۱۹).

بر اساس مطالعه Gevao و همکاران در کوتی، میانگین غلظت PAHs در هوای داخل طی ۲۴ ساعت، ۵/۶ نانوگرم بر مترمکعب (۱/۳) تا ۱۶/۰ نانوگرم بر مترمکعب (۲۰). در استکلهلم تحقیقاتی بر روی ۱۴ ترکیب PAHs در محله‌ای کنار خیابان صورت گرفت که مجموع آن‌ها بین ۱۰۰ تا ۲۰۰ نانوگرم بر مترمکعب بود و در بین آن‌ها غلظت Benzo[a]pyrene حدود ۱ تا ۲ نانوگرم بر مترمکعب گزارش گردید (۲۱). دستورالعمل سازمان بهداشت جهانی کیفیت هوا برای اروپا، سطح خطر سلطان‌زایی Benzo[a]pyrene را به عنوان شاخصی از کل PAHs، ۱۰^۵ نانوگرم بر مترمکعب از Benzo[a]pyrene معزز ۱/۰ نانوگرم بر مترمکعب از Lourdes Cardeal Menezes و Menezes در هزار نفری که در تماس گرفته‌اند، می‌شود. به همین دلیل غلظت ۱/۰ نانوگرم بر مترمکعب به عنوان راهنمای مبتنی بر سلامت پیشنهاد شده است (۲۲). SPAHs را در هوای بیرون ۱۰/۱ نانوگرم بر مترمکعب اندازه‌گیری کردند (۲۳). Vaz نیز میانگین Cachaca را در ۲۳/۸۸ میکروگرم بر لیتر Guerreiro و همکاران، میانگین کل PAHs را در سه



شکل ۱. موقعیت ایستگاه‌های نمونه‌برداری (نقاط ۱ تا ۷)

که در آن، n وزن آنالایت جذب شده روی فیر (نانوگرم) که از منحنی کالیبراسیون قابل محاسبه است، Dg ضریب نفوذ مولکول‌های گاز بر حسب سانتی‌متر مربع بر ثانیه، A مساحت سطح نفوذ فیر SPME بر حسب سانتی‌متر مربع ($d = 0.075$ میلی‌متر)، Z طول مسیر نفوذ به فیر SPME بر حسب سانتی‌متر ($t = 1$ میلی‌ثانیه)، t مدت زمان نمونه‌برداری (بر عهده اپراتور) و C غلظت ترکیب مورد نظر از PAHs (نانوگرم بر مترمکعب) بود.

$$n = \frac{D_{g,A}}{Z} \cdot C \cdot t \quad \rightarrow \quad C = \frac{n \cdot Z}{D_{g,A} \cdot t} \quad \text{رابطه ۱}$$

برای محاسبه ضریب نفوذ فاز گازی به صورت تئوری، می‌توان از رابطه ۲ استفاده کرد (۲۸) که در آن، P فشار کل (اتمسفر) M_A وزن مولکولی ترکیب A و وزن مولکولی هوا D_{AB} ضریب نفوذ بر حسب سانتی‌متر مربع بر ثانیه، T دما بر حسب درجه کلوین، $\sum V_A$ جمع حجم نفوذ برای ترکیب A و $\sum V_B$ جمع حجم نفوذ برای ترکیب B (که ترکیب B همان هواست) می‌باشد.

$$D_{AB} = \frac{10^{-3} T^{1.75} \left(\frac{1}{M_A} + \frac{1}{M_B} \right)^{\frac{1}{2}}}{P \left[(\sum V_A)^{\frac{1}{3}} + (\sum V_B)^{\frac{1}{3}} \right]^2} \quad \text{رابطه ۲}$$

داده‌های به دست آمده از آنالیز فیر SPME با استفاده از دستگاه GC/TQ-MS، در نرمافزار SPSS version 20، IBM Corporation، Armonk, NY) موجود در هوای آزاد در هر ایستگاه تحلیل قرار گرفت. غلظت PAHs با استفاده از آزمون‌های ANOVA، Shapiro-Wilk و Kolmogorov-Smirnov مقایسه گردید. همچنین، ارتباط غلظت PAHs با متغیرهای هواشناسی بررسی شد.

نمونه‌بردار در محل‌های مشخص شده و در ارتفاع ۱/۵-۲ متری از سطح زمین قرار داده شد و بعد از زمان‌های مورد نظر برداشته شد و به آزمایشگاه تحت شرایط استاندارد انتقال یافت. مدت زمان نمونه‌برداری یا در معرض قرار دادن جاذب‌های فیری در هر مکان، ۲۴ ساعت بود.

جهت آنالیز کمی و کیفی PAHs دستگاه GC متصل به دتکتور اسپکترومتر جرمی سه‌گانه (GC/Triple quadrupole-mass spectrometer) (GC/TQ-MS، Agilent Technologies) مورد استفاده قرار گرفت. برای آنالیز میزان ترکیبات جذب شده روی نمونه‌بردار SPME اوله نازک حاوی فیر جاذب به طور مستقیم و بدون نیاز به فرایند استخراج داخل قسمت تزریق دستگاه GC قرار داده شد. دمای مسیر تزریق ۳۲۵ درجه سانتی‌گراد تنظیم گردید. برای جداسازی ترکیبات، از یک ستون GC سیلیکون با خصامت فیلم ۰/۲۵ میکرومتر، قطر داخلی ۰/۲۵ میلی‌متر و طول ۳۰ متر استفاده شد. گاز حامل هلیوم با سرعت ۱ میلی‌لیتر بر دقیقه تنظیم گردید. برنامه دمایی کوره ستون به صورت ۶۰ درجه سانتی‌گراد به مدت یک دقیقه، افزایش حرارت تا ۱۷۵ درجه سانتی‌گراد با سرعت ۲۳۵ درجه بر دقیقه (ماندن در این دما به مدت ۵ دقیقه)، رسیدن به دمای ۳۲۵ درجه سانتی‌گراد با سرعت ۳ درجه بر دقیقه و در نهایت، دمای ۳۲۵ درجه سانتی‌گراد با سرعت ۸ درجه در دقیقه و ماندن در این دما به مدت ۵ دقیقه انجام گرفت.

به منظور رسم منحنی‌های استاندارد جهت تعیین نوع (با استفاده از زمان خارج شدن از ستون) و مقدار (با استفاده از سطح زیر منحنی) هر یک از PAHs از محلول استوک مخلوط Sigma-Aldrich (شرکت PAHs، آمریکا) در غلظت‌های ۱۰۰، ۵۰ و ۱۰ نانوگرم بر میکرولیتر استفاده گردید. معادله خط، حد تشخیص کمی و ضریب همبستگی برای هر یک از PAHs در جدول ۱ ارایه شده است. پس از محاسبه وزن آنالایت جذب شده روی فیتر، غلظت هر یک از PAHs در مترمکعب هوا با استفاده از رابطه ۱ تعیین گردید.

جدول ۱. معادله خطی و ضریب همبستگی برای ۱۶ نمونه (PAHs) Polycyclic Aromatic Hydrocarbons

نام ترکیب	معادله خط	ضریب همبستگی	ضریب نفوذ	حد تشخیص
Naphthalene	$Y = ۹۹۶۳۵X + ۲۲۹۸۰$.۹۹۹	.۰۰۶۲	.۰۰۷
Acenaphthylene	$Y = ۱۳۵۸۰X + ۱۲۹۵۱$.۹۹۹	.۰۰۵۸	.۰۱۲
Acenaphthene	$Y = ۳۴۳۳۰X - ۲۲۱۰۰$.۹۹۳	.۰۰۵۶	.۰۱۰
Fluorene	$Y = ۲۴۰۲۲X - ۲۲۱۳۰$.۹۹۸	.۰۰۵۴	.۰۱۰
Anthracene	$Y = ۱۴۷۸۵X - ۱۶۴۴$.۹۹۹	.۰۰۵۲	.۰۱۰
Phenanthrene	$Y = ۱۴۸۹۷X - ۲۶۵۲$.۹۹۹	.۰۰۵۲	.۰۰۷
Fluoranthene	$Y = ۵۱۲۲۴X - ۴۹۰۹$.۹۹۷	.۰۰۴۹	.۰۱۴
Pyrene	$Y = ۵۱۶۹۵X - ۵۷۰۲$.۹۹۷	.۰۰۴۹	.۰۱۴
Benzo[a]Anthracene	$Y = ۴۵۹۴۶X - ۱۱۱۵۴$.۹۹۵	.۰۰۴۶	شناسایی نشد.
Chrysene	$Y = ۴۰۵۹۴X + ۷۶۳۶۲$.۹۹۸	.۰۰۴۶	شناسایی نشد.
Benzo[b]fluoranthene	$Y = ۳۷۶۰۲X + ۴۰۴۱۴$.۹۹۶	.۰۰۴۳	شناسایی نشد.
Benzo[k]fluoranthene	$Y = ۳۷۳۷۰X - ۴۴۲۲۳$.۹۹۵	.۰۰۴۳	شناسایی نشد.
Benzo[a]Pyrene	$Y = ۲۶۸۰۰X + ۲۵۲۱۴$.۹۹۷	.۰۰۴۳	شناسایی نشد.
Benzo[ghi]perylene	$Y = ۴۲۶۹۷X - ۱۱۲۸۸$.۹۹۶	.۰۰۴۱	.۰۲۹
Dibenzo[a'h]Antheracene	$Y = ۷۷۴۹۳X - ۱۳۸۰۴$.۹۹۶	.۰۰۴۱	شناسایی نشد.
Indeno[123-cd]pyrene	$Y = ۳۹۴۱۶X - ۱۳۸۰۴$.۹۹۹	.۰۰۴۱	.۰۳۵

در PAHs میانگین هندسی غلظت $53/82 \pm 4/06$ نانوگرم بر مترمکعب بود. دلیل بیشتر بودن غلظت در میدان آزادی ممکن است به علت وجود فعالیتهای تعمیراتی جاده و ساخت مترو باشد که این موضوع سبب ترافیک سنگین و همچنین، انتشار از وسایل ساخت و ساز در این منطقه می‌شود. دلیل دیگر مقادیر بالا در این منطقه، وجود تراکم جمعیت و تردد بیشتر و محل تمرکز مرکز خرید است.

یافته‌ها

جدول ۲ میانگین هندسی غلظت PAHs در ۷ ایستگاه مختلف نمونه‌برداری در فصل تابستان را نشان می‌دهد. تغییرات مکانی میانگین غلظت PAHs در ۷ ایستگاه مختلف نمونه‌برداری در فصل پاییز نیز در جدول ۳ آرایه شده است. بیشترین غلظت PAHs مربوط به ایستگاه میدان آزادی با مقدار

جدول ۲. میانگین غلظت (PAHs) Polycyclic Aromatic Hydrocarbons بر حسب نانوگرم بر مترمکعب در فصل تابستان در ایستگاه‌های نمونه‌برداری

نام ترکیب	ایستگاه	میدان آزادی	میدان جمهوری	میدان امام حسین (ع)	پل وحید	پل چمران	میدان احمدآباد	میدان بزرگمهر
Naphthalene	۵/۶۳	۲/۲۶	۳/۷۰	۱/۷۱	۲/۰۸	۲/۶۹	۲/۶۹	۰/۳۰
Acenaphthylene	۹/۲۳	۹/۲۳	۵/۰۰	۵/۳۰	۴/۷۷	۶/۴۰	۵/۳۶	۹/۵۲
Acenaphthene	۶/۰۱	۶/۰۱	۲/۹۸	۲/۵۲	۲/۹۶	۲/۰۳	۵/۰۳	۵/۲۳
Fluorene	۱/۳۴	۱/۳۴	۲/۹۱	۲/۲۶	۲/۹۲	۲/۴۵	۲/۵۱	۲/۴۵
Anthracene	۲/۰۱	۲/۰۱	۰/۷۶	۱/۱۲	۰/۹۱	۱/۰۹	۱/۰۹	۱/۱۱
Phenanthrene	۲/۰۱	۲/۰۱	۱/۵۸	۱/۷۳	۱/۴۷	۱/۸۳	۱/۸۳	۱/۶۱
Fluoranthene	۰/۸۰	۰/۸۰	۰/۶۰	۰/۶۹	۰/۸۵	۰/۷۸	۰/۸۷	۰/۹۴
Pyrene	۲/۱۰	۲/۱۰	۰/۸۱	۱/۲۲	۱/۰۸	۱/۲۶	۱/۷۳	۱/۹۵
Benzo[a]Anthracene	Chrysene	Benzo[b]fluoranthene	Benzo[k]fluoranthene	Benzo[a]Pyrene	شناختی نشد.	شناختی نشد.	شناختی نشد.	شناختی نشد.
Indeno[123-cd]pyrene	Benzo[ghi]perylene	Dibenzo[a'h]Antheracene	Indeno[123-cd]pyrene	میانگین \pm انحراف معیار	شناختی نشد.	شناختی نشد.	شناختی نشد.	شناختی نشد.

جدول ۳. میانگین غلظت Polycyclic Aromatic Hydrocarbons (PAHs) بر حسب نانوگرم بر مترمکعب در فصل پاییز در ایستگاه‌های نمونه‌برداری

نام ترکیب	ایستگاه	میدان آزادی	میدان	جمهوری	میدان امام	پل وحید	پل چمران	میدان احمدآباد	میدان بزرگمهر	میانگین ± انحراف معیار
Naphthalene		۱۱/۵۵	۵/۶۰	۶/۶۶	۳/۵۳	۴/۷۰	۵/۰۱	۸/۸۷	۸/۸۷	
Acenaphthylene		۱۲/۶۲	۷/۰۳	۷/۸۱	۵/۸۳	۷/۵۴	۸/۰۴	۱۱/۸۲	۶/۷۳	
Acenaphthene		۸/۶۶	۳/۶۱	۴/۴۲	۳/۷۳	۲/۹۱	۶/۲۸	۵/۱۱	۵/۱۱	
Fluorene		۴/۶۶	۳/۷۶	۴/۱۲	۳/۶۶	۴/۲۷	۳/۸۸	۲/۰۸	۲/۰۸	
Anthracene		۲/۳۰	۱/۰۲	۱/۸۴	۱/۴۲	۱/۷۳	۱/۸۶	۲/۰۸	۲/۰۸	
Phenanthrene		۲/۵۰	۱/۸۶	۲/۰۶	۱/۷۳	۱/۷۶	۲/۲۳	۲/۰۸	۱/۳۰	
Fluoranthene		۱/۳۰	۰/۷۸	۱/۰۵	۱/۰۱	۱/۱۴	۱/۲۶	۱/۳۰	۲/۶۲	
Pyrene		۲/۹۶	۱/۳۷	۱/۷۵	۱/۴۶	۱/۷۰	۲/۳۰	۲/۶۲	۲/۳۰	
Benzo[a]Anthracene		شناخته شده	شناخته شده	شناخته شده	شناخته شده	شناخته شده	شناخته شده	شناخته شده	شناخته شده	شناخته شده
Chrysene		شناخته شده	شناخته شده	شناخته شده	شناخته شده	شناخته شده	شناخته شده	شناخته شده	شناخته شده	شناخته شده
Benzo[b]fluoranthene		شناخته شده	شناخته شده	شناخته شده	شناخته شده	شناخته شده	شناخته شده	شناخته شده	شناخته شده	شناخته شده
Benzo[k]fluoranthene		شناخته شده	شناخته شده	شناخته شده	شناخته شده	شناخته شده	شناخته شده	شناخته شده	شناخته شده	شناخته شده
Benzo[a]Pyrone		شناخته شده	شناخته شده	شناخته شده	شناخته شده	شناخته شده	شناخته شده	شناخته شده	شناخته شده	شناخته شده
Benzo[ghi]perylene		شناخته شده	شناخته شده	شناخته شده	شناخته شده	شناخته شده	شناخته شده	شناخته شده	شناخته شده	شناخته شده
Dibenzo[a'h]Antheracene		شناخته شده	شناخته شده	شناخته شده	شناخته شده	شناخته شده	شناخته شده	شناخته شده	شناخته شده	شناخته شده
Indeno[123-cd]pyrene		شناخته شده	شناخته شده	شناخته شده	شناخته شده	شناخته شده	شناخته شده	شناخته شده	شناخته شده	شناخته شده

فرسایش قطعات خودرو مانند لاستیک‌ها بیشتر از سایر مناطق می‌باشد که از این طریق می‌تواند غلظت بیشتری از آلاینده‌های را وارد هوای شهر سازد. همچنین، آسفالت می‌تواند به عنوان منبع تولید آلودگی عمل کند؛ چرا که از قیر و فرآورده‌های نفتی که خود منبع اصلی تولید هیدروکربن‌های آروماتیک است، تشکیل شده است.

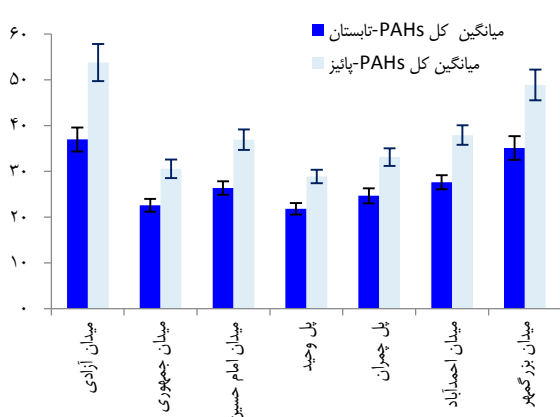
به طور کلی، غلظت PAHs در فصل پاییز نسبت به تابستان بیشتر بود و این امر ممکن است به دلیل پدیده پایداری و ارونگی دما در این فصل باشد که باعث محبوب شدن آلاینده‌های تولید شده در هوای شهر می‌گردد. در مقابل، در تابستان به دلیل این که هوای روزهای تابستانی دارای مدارس و دانشگاه‌ها نیز تعطیل هستند و تردد وسایل نقلیه در مقایسه با پاییز کمتر می‌شود، غلظت PAHs در هوای نسبت به پاییز کمتر می‌باشد.

تغییرات میانگین غلظت مجموع PAHs سنجش شده در بین ایستگاه‌های اختنابی و همچنین، تغییرات فصلی آن‌ها در دو فصل تابستان و بهار در شکل ۲ نشان داده شده است.

جهت بررسی تأثیر دما، رطوبت و سرعت وزش باد در شهر طی انجام مطالعه، اطلاعات مربوط به شاخص‌های هواساناسی از تیر تا ابان سال ۱۳۹۵ از سایت اداره هواساناسی استان دریافت گردید که به طور خلاصه در جدول ۴ ارایه شده است.

بحث

تغییرات مقادیر میانگین PAHs در ایستگاه دروازه شیراز (میدان آزادی) از پرترافیک‌ترین نقاط شهر اصفهان و این آلاینده‌ها ناشی از تردد زیاد اتومبیل‌ها می‌باشد. لازم به ذکر است که خروج مواد آلاینده از اگزوز خودروها در محدوده‌ای از فضا صورت می‌گیرد که به طور مستقیم وارد دستگاه تنفس انسان می‌شود. در مناطق گرم و خشک مانند اصفهان، میزان استهلاک و



شکل ۲. مقایسه میانگین غلظت Polycyclic Aromatic Hydrocarbons (PAHs) بر حسب نانوگرم بر مترمکعب بین ایستگاه‌های اختنابی در فصول تابستان و پاییز

جدول ۴. میانگین شاخص‌های هواشناسی در ماه‌های تابستان و پاییز سال ۱۳۹۵ در شهر اصفهان

تابستان و پاییز	ماه‌های فصل	تعداد نمونه در هر ماه	روطوبت هوای (درصد)	دماهی هوای (درجه سانتی‌گراد)	حداکثر سرعت وزش باد (متر بر ثانیه)
تیر		۷	۲۰/۵	۳۷/۰	۴۰/۶
مرداد		۷	۲۴/۰	۴۲/۰	۴۲/۸
شهریور		۷	۲۲/۰	۴۵/۰	۳۷/۶
مهر		۷	۳۱/۵	۵۷/۰	۳۴/۶
آبان		۷	۴۶/۰	۸۶/۰	۲۷/۴
آذر		۷	۵۱/۵	۹۴/۰	۲۰/۲
میانگین کل		-	۳۲/۹	۶۰/۲	۲۱/۳

Lourdes Cardeal de Lourdes Cardeal (۱۰/۱) نانوگرم بر مترمکعب نشان داد (۲۳) که مقادیر اندازه‌گیری شده آن‌ها در مقایسه با بررسی حاضر کمتر بود. نتایج پژوهش حاضر به مراتب میزان مواجهه تنفسی بیشتری را نسبت به تحقیق de Lourdes Cardeal و Menezes (۲۳) نشان داد که این اختلاف می‌تواند ناشی از ترافیک کمتر در این شهرها و کیفیت بهتر سوخت مصرفی باشد.

همچنین، نتایج مطالعه Vaz که در شهر Cachaca مکریک انجام شد، میزان مواجهه تنفسی با PAHs را ۲۳/۸۸ نانوگرم بر مترمکعب گزارش نمود (۲۴) که این مقدار با مقادیر به دست آمده در ایستگاه پل چمران و میدان جمهوری مشابه است. Guerreiro و همکاران میانگین کل PAHs را در سه منطقه ترکیه به ترتیب ۱۰۰/۷، ۸۴/۶ و ۲۵/۱ نانوگرم بر مترمکعب عنوان نمودند (۲۵) که مقادیر این آلینده‌ها در دو منطقه ترکیه با ایستگاه‌های مشابه در کشور ما سازگاری نداشت و مقادیر آن بالاتر از مقدار به دست آمده در پژوهش حاضر می‌باشد. درخشان‌زاد و همکاران غلظت Benzo[a]pyrene و Benzo[a]anthracene را در هوای شهر اهواز بررسی کردند و به این نتیجه رسیدند که میانگین غلظت Benzo[a]pyrene از میزان استاندارد (۱) نانوگرم بر مترمکعب (بالاتر، اما از میزان میانگین حدود شغلی (۵۲ میلی‌گرم بر مترمکعب) پایین‌تر می‌باشد و Benzo[a]anthracene نیز بالاتر از حد استاندارد است (۲۶) که نسبت به اندازه‌های مطالعه حاضر در اصفهان، مقادیر بالاتری را نشان می‌دهد.

در بسیاری از تحقیقات انجام شده در نقاط مختلف جهان نیز غلظت ترکیبات PAHs در فضای سرد بیشتر از فضای گرم می‌باشد. به عنوان مثال، می‌توان به پژوهش Park و همکاران (۳۰) اشاره کرد. آن‌ها در مطالعه خود غلظت روزانه PAHs در ذرات فاز گازی هوای منطقه شهری سؤل کره جنوبی و همچنین، روند فصلی غلظت PAHs را اندازه‌گیری کردند و به این نتیجه رسیدند که مقدار PAHs در فضای گرمی از سوخت‌های فسیلی برای گرمایش استفاده می‌شود، بیشتر است (۳۰). حداکثر و حداقل غلظت PAHs به ترتیب در زمستان و تابستان گزارش گردید که دلایل بالاتر بودن مقدار آن در زمستان، مصرف بالای سوخت‌های فسیلی، پایین بودن لایه اختلاط و درجه کم هوایی باشد. نتایج مطالعه Fang و همکاران نشان داد که مقدار PAHs در اتمسفر در فصل تابستان کمتر است. آنان غلظت زیاد PAHs در فصل سرد سال را به علت افزایش مصرف سوخت‌های فسیلی قابل احتراق و افزایش غلظت PAHs در فاز گازی در دمای پایین دانستند (۲۶). Bae و همکاران با انجام تحقیقی

به دلیل ساخت و سازهای مربوط به ایستگاه مترو، استقرار ایستگاه‌های اتوبوس در خیابان‌های منتهی به این میدان و تردد وسایل نقلیه سنگین، آلدگی در این محدوده قابل توجیه است.

Dominen منطقه از نظر بیشترین غلظت PAHs، میدان بزرگ‌مهر بود. این منطقه به دلیل این که کاملاً تجاری است و خیابان‌های بزرگی به آن وصل می‌شود، توقف بیش از حد ماسیخ‌ها شلوغ با عرض کم و نزدیکی به رودخانه زاینده‌رود می‌باشد که این عامل منجر به بروز ترافیک می‌گردد. همچنین، عدم وجود پستی و بلندی بر سر راه حرکت آلینده‌های ذره‌ای و گازی موجب انتقال و پخش آن‌ها می‌شود. آلینده تحت تأثیر جریان بادهای غالب و از طرف دیگر، مشرف به بزرگ‌راهی است که محل تردد خودروها می‌باشد و تأیید توجیه این مطلب است که پس از دروازه شیراز (میدان آزادی)، این ایستگاه بیشترین غلظت آلینده را دارد (شکل ۲).

میدان احمدآباد سومین رتبه را از نظر میزان غلظت PAHs به خود اختصاص داد. غلظت بالای PAHs در این منطقه می‌تواند به دلیل واقع شدن آن در مسیر باد غالی باشد که از سمت شهرک صنعتی جی می‌وزد. همچنین، وجود جایگاه‌های سوخت در این منطقه می‌تواند منجر به افزایش غلظت PAHs شود.

پل وحید کمترین میزان آلدگی از نظر مقدار PAHs را داشت که دلیل آن را می‌توان به وجود فضای سبز در اطراف آن و سکونت تعداد کمتری از مردم در فضای وسیع شهری نسبت داد و این امر باعث شده است کمترین غلظت آلدگی بین ایستگاه‌های مورد بررسی را به خود اختصاص دهد.

در فصل پاییز سطوح پرفشار لایه‌های میانی جو در منطقه استقرار می‌باشد و در ابتدای روزهای سرد تا بالا آمدن خورشید در میانه آسمان، بدیده پایداری و در بعضی مناطق وارونگی دما در منطقه حاکم می‌شود و باعث محبوس شدن آلینده‌های تولیدی در هوای شهر می‌شود. بنابراین، وجود ترافیک توأم با وقوع وارونگی دما، مهم‌ترین عامل افزایش PAHs در هوای شهر اصفهان به ویژه در فصل پاییز است.

شهر اصفهان به لحاظ استقرار واحدهای صنعتی آلوده‌ساز، نیروگاه‌ها و شهرک‌های صنعتی، وضعیت ترافیکی، موقعیت جغرافیایی، آب و هوای گرم و خشک، وجود کارگاه‌های کوچک و بزرگ که بعضی با تأیید بر افزایش تولید بدون وجود تجهیزات کافی برای مهار آلدگی مشغول فعالیت هستند، عامل افزایش غلظت آلینده‌ها می‌باشند. نتایج مطالعه Menezes و

نتیجه‌گیری

مطالعه حاضر غلظت PAHs و همبستگی اجزای آن در طی دو فصل را مورد بررسی قرار داد. نتایج بیانگر وجود تغییرات فصلی در غلظت ترکیبات PAHs در تمام نقاط نمونه‌برداری می‌باشد. غلظت‌ها و ترتیب قرارگیری اجزای آن در PAHs پژوهش حاضر تا حدودی با تحقیقات انجام شده در سایر نقاط جهان همسو بود. مقایسه مقادیر فصلی ترکیبات PAHs نشان می‌دهد که اختلاف معنی‌داری بین غلظت این ترکیبات در طی فضول تابستان و زمستان وجود دارد. روند فصلی مقادیر غلظت‌های مشاهده شده PAHs در زمستان بالا و در تابستان کم بوده است. از این مطلب می‌توان نتیجه‌گیری کرد که تجزیه و تخریب فتوشیمیایی اجزای PAHs در طی فصل تابستان بسیار شدیدتر می‌باشد. وجود همبستگی قوی بین اجزای PAHs در مطالعه حاضر نشان دهنده آن است که این آلاینده‌ها از منابع مشابهی منشأ می‌گیرند و میانگین کل PAHs در فصل سرد بیشتر از فصل گرم می‌باشد. همچنین، در پژوهش حاضر مشخص گردید که غلظت PAHs در نقاط مختلف شهر اصفهان از استاندارد محیطی بالاتر است. همان‌گونه که ذکر شد، دلیل این غلظت بالا ممکن است وجود ترافیک سنگین در شهر و موقعیت توپوگرافی شهر باشد. بنا بر این، با توجه به این که تنفس این ترکیبات در غلظت‌های بالاتر می‌تواند پیامدهای خطرناکی برای سلامت انسان داشته باشد، تدوین و اجرای برنامه علمی و هدفمند در جهت کاهش انتشار PAHs در هوا ضرورت دارد.

تشکر و قدردانی

بدین وسیله نویسندها مقاله از کارکنان آزمایشگاه جامع علمی تحقیقاتی دانشگاه علوم پزشکی اصفهان که در آنالیز فیترهای SPME با دستگاه GC/TQ-MS همکاری نمودند و همچنین، از معاونت پژوهش و فن‌آوری دانشگاه علوم پزشکی اصفهان به جهت تأمین منابع مالی مطالعه حاضر، تشکر و قدردانی به عمل می‌آورند.

References

1. Arey J, Atkinson R. Photochemical reactions of PAHs in the atmosphere. In: Douben PE, Editor. PAHs: An Ecotoxicological Perspective. Hoboken, NJ: John Wiley & Sons; 2003.
2. Kim KH, Jahan SA, Kabir E, Brown RJ. A review of airborne polycyclic aromatic hydrocarbons (PAHs) and their human health effects. Environ Int 2013; 60: 71-80.
3. Bostrom CE, Gerde P, Hanberg A, Jernstrom B, Johansson C, Kyrklund T, et al. Cancer risk assessment, indicators, and guidelines for polycyclic aromatic hydrocarbons in the ambient air. Environ Health Perspect 2002; 110(Suppl 3): 451-88.
4. Zhang Y, Tao S. Global atmospheric emission inventory of polycyclic aromatic hydrocarbons (PAHs) for 2004. Atmospheric Environment 2009; 43(4): 812-9.
5. Saponaro S, Bonomo L, Petruzzelli G, Romele L, Barbaieri M. Polycyclic aromatic hydrocarbons (PAHs) slurry phase bioremediation of a manufacturing gas plant (MGP) site aged soil. Water Air Soil Pollut 2002; 135(1-4): 219-36.
6. Ravindra K, Sokhi R, Van Grieken R. Atmospheric polycyclic aromatic hydrocarbons: Source attribution, emission factors and regulation. Atmos Environ 2008; 42(13): 2895-921.
7. Armstrong B, Hutchinson E, Unwin J, Fletcher T. Lung cancer risk after exposure to polycyclic aromatic hydrocarbons: A review and meta-analysis. Environ Health Perspect 2004; 112(9): 970-8.
8. Canadian Council of Ministers of the Environment. Canadian soil quality guidelines for the protection of environmental and human health [Online]. [cited 2010]; Available from: URL: www.ceqg-rcqe.ccme.ca/download/en/320
9. Masih J, Singhvi R, Kumar K, Taneja A. Seasonal variation and sources of polycyclic aromatic hydrocarbons (PAHS) in indoor and outdoor air in a semi-arid tract of northern India. Aerosol Air Qual Res 2011; 12(4): 515-25.
10. Kuo CY, Chien PS, Kuo WC, Wei CT, Rau JY. Comparison of polycyclic aromatic hydrocarbon emissions on gasoline-and diesel-dominated routes. Environ Monit Assess 2013; 185(7): 5749-61.
11. Phuleria HC, Sheesley RJ, Schauer JJ, Sioutas C. Roadside measurements of size-segregated particulate organic compounds near gasoline and diesel-dominated freeways in Los Angeles, CA. Atmos Environ 2007; 41(22): 4653-71.

دریافتند که غلظت PAHs در فضول سرد سال بیشتر از فضول گرم است (۲۷). که نتایج این مطالعات (۲۶، ۲۷) با یافته‌های بررسی حاضر همواری داشت. به طور کلی، نتایج پژوهش حاضر میزان مواجهه بالاتر از حدود استاندارد تعیین شده را نشان می‌دهد. با توجه به این که حدود مجاز برای بسیاری از PAHs تعریف نشده است (البته برای Benzo[a]pyrene به عنوان شاخص سلطان‌زا این گروه، مقدار مجاز ۱ نانوگرم بر مترمکعب تعریف شده است) و از طرف دیگر، اغلب این ترکیبات به عنوان عامل سلطان‌زا شناخته می‌شوند، لازم است جهت حفظ سلامت شهروندان از راهکارهای فنی و مدیریتی برای کنترل و کاهش انتشار آن‌ها استفاده گردد.

ارتباط نتایج با داده‌های هواشناسی و تغییرات فصلی: اطلاعات هواشناسی همچون رطوبت نسبی، درجه حرارت و میانگین سرعت باد از سازمان هواشناسی اصفهان تهیه گردید. تأثیر این متغیرهای هواشناسی بر روی غلظت PAHs با استفاده از آزمون‌های Kolmogorov-Smirnov و Shapiro-Wilk مقایسه شد. همبستگی شدیدی بین غلظت PAHs و شاخص‌های هواشناسی مانند دما و رطوبت مشاهده گردید، اما بین وزش باد و غلظت PAHs همبستگی وجود نداشت. همچنین، نتایج آزمون Shaprio-Wilk نشان داد که اختلاف بین غلظت اجزای PAHs در هر دو فصل نمونه‌برداری معنی‌دار بود. مقایسه مقادیر میانگین غلظت PAHs در فصل تابستان و پاییز حاکی از آن بود که بیشترین میانگین غلظت مربوط به فصل پاییز می‌باشد (۳۰). این غلظت بالا ممکن است به دلیل وقوع پدیده وارونگی و استفاده بیشتر از سوخت‌های فسیلی و درجه کم هوا باشد. در تابستان غلظت PAHs به دلیل تعطیلی مدارس و تردد کمتر وسایل نقلیه نسبت به پاییز کمتر است. مطالعات دیگری که بر روی آلودگی هوای مرتبط با ترافیک انجام گرفته است، نشان دهنده غلظت‌های بالای این آلاینده‌ها در فضول سرد در مقایسه با دیگر فضول می‌باشد (۳۰) که این یافته با نتایج پژوهش حاضر همواری داشت.

12. Wang Z, Ren P, Sun Y, Ma X, Liu X, Na G, et al. Gas/particle partitioning of polycyclic aromatic hydrocarbons in coastal atmosphere of the north Yellow Sea, China. *Environ Sci Pollut Res Int* 2013; 20(8): 5753-63.
13. Anselstetter V, Heimpel H. Acute hematotoxicity of oral benzo(a)pyrene: The role of the Ah locus. *Acta Haematol* 1986; 76(4): 217-23.
14. World Health Organization. Ambient (outdoor) air quality and health [Online]. [cited 2015]; Available from: URL: [http://www.who.int/news-room/fact-sheets/detail/ambient-\(outdoor\)-air-quality-and-health](http://www.who.int/news-room/fact-sheets/detail/ambient-(outdoor)-air-quality-and-health)
15. Rittmann BE, McCarty PL. Environmental Biotechnology: Principles and Applications. New York, NY: McGraw-Hill, 2001.
16. Bohlin P, Jones KC, Tovalin H, Strandberg B. Observations on persistent organic pollutants in indoor and outdoor air using passive polyurethane foam samplers. *Atmos Environ* 2008; 42(31): 7234-41.
17. Richter-Reichhelm HB, Emura M, Althoff J. Scanning electron microscopical investigations on the respiratory epithelium of the Syrian golden hamster. VI. In vitro effects of different polycyclic aromatic hydrocarbons. *Zentralbl Bakteriol Mikrobiol Hyg B* 1985; 181(3-5): 272-80.
18. White KL Jr, Lysy HH, Holsapple MP. Immunosuppression by polycyclic aromatic hydrocarbons: a structure-activity relationship in B6C3F1 and DBA/2 mice. *Immunopharmacology* 1985; 9(3): 155-64.
19. Fischer M, Meyer E. The assessment of the health risk from asbestos fibres by the Federal Health Office of the Federal Republic of Germany. *VDI-Berichte* 1983; 475: 325-30.
20. Gevao B, Al-Bahloul M, Zafar J, Al-Matrouk K, Helaleh M. Polycyclic aromatic hydrocarbons in indoor air and dust in Kuwait: implications for sources and nondietary human exposure. *Arch Environ Contam Toxicol* 2007; 53(4): 503-12.
21. Masala S, Lim H, Bergvall C, Johansson C, Westerholm R. Determination of semi-volatile and particle-associated polycyclic aromatic hydrocarbons in Stockholm air with emphasis on the highly carcinogenic dibenzopyrene isomers. *Atmos Environ* 2016; 140: 370-80.
22. Zare M, Shahtaheri SJ, Mehdipur P, Shekari M, Hajaghazadeh M, Shahriary A, et al. Urinary 1-hydroxypyrene as a biomarker of carcinogenic polycyclic aromatic hydrocarbons in Iranian carbon anode plant workers. *Int J Env Health Eng* 2012; 1: 44.
23. Menezes HC, de Lourdes Cardeal Z. Determination of polycyclic aromatic hydrocarbons from ambient air particulate matter using a cold fiber solid phase microextraction gas chromatography-Eomass spectrometry method. *J Chromatogr A* 2011; 1218(21): 3300-5.
24. Vaz JM. Screening direct analysis of PAHS in atmospheric particulate matter with SPME. *Talanta* 2003; 60(4): 687-93.
25. Guerreiro CBB, Horalek J, de Leeuw F, Couvidat F. Benzo(a)pyrene in Europe: Ambient air concentrations, population exposure and health effects. *Environ Pollut* 2016; 214: 657-67.
26. Fang GC, Wu YS, Fu PP, Chang CN, Ho TT, Chen MH. The study of temple and pastureland particle-bound polycyclic aromatic hydrocarbons concentrations in central Taiwan. *Int J Environ Pollut* 2004; 22(6): 688-700.
27. Bae SY, Yi SM, Kim YP. Temporal and spatial variations of the particle size distribution of PAHs and their dry deposition fluxes in Korea. *Atmos Environ* 2002; 36(35): 5491-500.
28. Fuller EN, Schettler PD, Giddings JC. New method for prediction of binary gas-phase diffusion coefficients. *Ind Eng Chem* 1966; 58(5): 18-27.
29. Derakhshannejad A, Sekhavatjou MS, Baneshi MM, Nazari Z. Investigation on the concentration of polycyclic aromatic hydrocarbons dibenzo (α, h) anthracen in Ahwaz ambient air. *Jundishapur Journal of Health Sciences* 2011; 3(2): 35-43.
30. Park SS, Kim YJ, Kang CH. Atmospheric polycyclic aromatic hydrocarbons in Seoul, Korea. *Atmos Environ* 2002; 36(17): 2917-24.

Monitoring of the Concentration of Polycyclic Aromatic Hydrocarbons (PAHs) in the Ambient Air of Isfahan City, Iran, in Year 2016

Mahdiyeh Dayyan¹, Yaghoub Hajizadeh², Mohsen Saadani³

Original Article

Abstract

Background: Polycyclic aromatic hydrocarbons (PAHs) mainly release to the air from incomplete combustion of fossil fuels like oil, coal, wood, etc. Because of their bioaccumulation, carcinogenicity, and mutagenicity effects, they are one of the major concerns of the scientific community. In this study, the concentrations of PAHs in the ambient air of high-traffic areas in Isfahan City, Iran, during summer and autumn seasons of the year 2016 were measured.

Methods: Air sampling was conducted passively using solid phase microextraction (SPME) fibers. The SPME samplers were installed in 7 points of selected high-traffic areas for 24 hours. After sampling, PAHs adsorbed on the fibres were directly analysed using a gas chromatography/triple quadrupole-mass spectrometer (GC/TQ-MS) device without the need to extraction according to standard methods.

Findings: The maximum ΣPAHs was related to Azadi Square with a concentration of 53.83 ± 4.06 ng/m³ in autumn, and the minimum concentration of ΣPAHs was measured at Vahid Bridge with an average of 21.82 ± 1.28 ng/m³ in summer. Acenaphthylene was the highest found aromatic over the other PAH concentration. The mean concentration of PAHs in autumn was more than summer.

Conclusion: The results showed that exposures to these compounds via ambient air at all stations, especially in high-traffic areas were higher than those suggested by Occupational Safety and Health Administration (OSHA), National Institute for Occupational Safety and Health (NIOSH), and American Conference of Governmental Industrial Hygienists (AGCIIH). High levels of these compounds in different parts of the city can be attributed to the excessive vehicle traffic as well as the topography of the city. Therefore, traffic management and control of emissions from vehicles can be very effective in reducing PAHs emissions.

Keywords: PAHs, Ambient air, Heavy traffic, Passive sampling

Citation: Dayyan M, Hajizadeh Y, Saadani M. Monitoring of the Concentration of Polycyclic Aromatic Hydrocarbons (PAHs) in the Ambient Air of Isfahan City, Iran, in Year 2016. J Health Syst Res 2018; 14(1): 114-22.

1- MSc Student, Student Research Committee AND Department of Environmental Health Engineering, School of Health, Isfahan University of Medical Sciences, Isfahan, Iran

2. Associate Professor, Environment Research Center, Research Institute for Primordial Prevention of Non-Communicable Diseases AND Department of Environmental Health Engineering, School of Health, Isfahan University of Medical Sciences, Isfahan, Iran

3. Assistant Professor, Department of Environmental Health Engineering, School of Health, Shahid Beheshti University of Medical Sciences, Tehran, Iran

Corresponding Author: Yaghoub Hajizadeh, Email: y_hajizadeh@hlth.mui.ac.ir